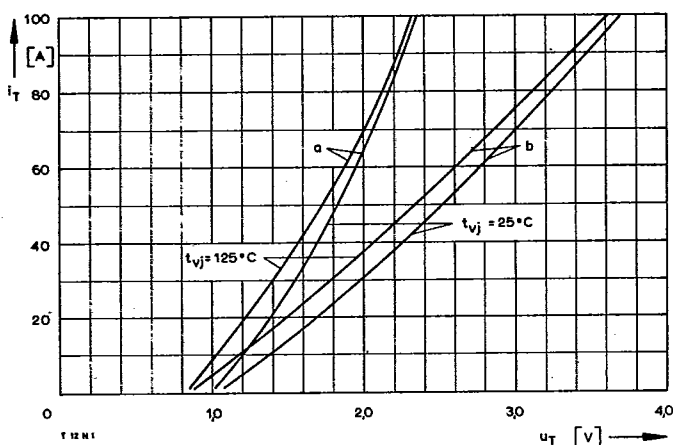


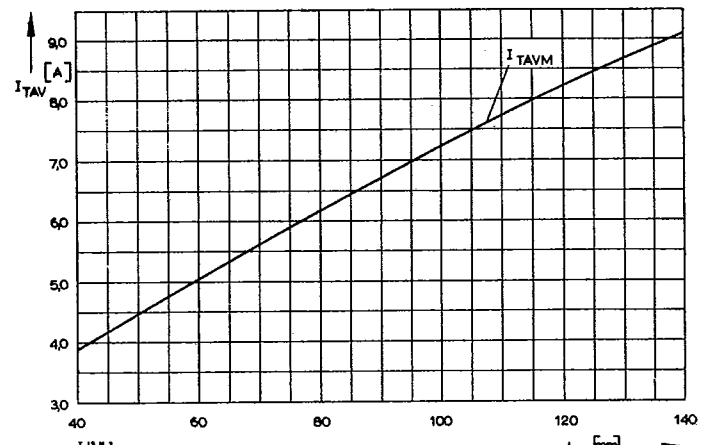
T12 N

Type Series/Type range	T12 N	400	600	700	800	900	1000	1100	1200
Elektrische Eigenschaften	Electrical properties								
Höchstzulässige Werte	Maximum permissible values								
U_{DRM} , U_{RRM} Periodische Vorwärts- und Rückwärts-Spitzenperrspannung							400...1200	V	
I_{TRMSM} Effektiver Durchlaßstrom	RMS on-state current						30	A	
I_{TAVM} Dauergrenzstrom	average on-state current						12	A	
I_{TM} Periodischer Spitzenstrom	repetitive peak on-state current						19	A	
I_{TSM} Stoßstrom-Grenzwert	surge current						180	A	
$\int i^2 dt$ Grenzlastintegral	$\int i^2 dt$ -value						220	A	
$(di/dt)_{cr}$ Kritische Stromsteilheit	critical rate of rise of on-state current						200	A	
$(du/dt)_{cr}$ Kritische Spannungssteilheit	critical rate of rise of off-state voltage						240	A ² s	
							200	A ² s	
							300	A/ μ s	
							60	A/ μ s	
Charakteristische Werte	Characteristic values								
U_T Obere Durchlaßspannung	max. on-state voltage						2,75	V	
$U_{(TO)}$ Schleusenspannung	threshold voltage						1,2	V	
r_T Ersatzwiderstand	slope resistance						26	m Ω	
U_{GT} Obere Zündspannung	max. gate trigger voltage						2	V	
I_{GT} Oberer Zündstrom	max. gate trigger current						50	mA	
	min. gate trigger current						0,5	mA	
I_H Unterer Zündstrom	max. holding current						100	mA	
I_L Oberer Haltestrom	max. latching current						280	mA	
i_D, i_R Oberer Vorwärts- und Rückwärts-Sperrstrom	max. forward off-state and reverse currents						5	mA	
t_{sd} Oberer Zündverzug	max. gate controlled delay time						1,8	μ s	
t_q Typische Freiwerdezeit	typical turn-off time						60	μ s	
C_{null} Typische Nullkapazität	typical zero capacitance						250	pF	
Thermische Eigenschaften	Thermal properties								
R_{thJC} Innerer Wärmewiderstand	thermal resistance, junction to case						$\leq 1,6$	°C/W	
	operating temperature						$\leq 1,31$	°C/W	
	storage temperature						– 40°C...+125°C		
							– 40°C...+130°C		
Mechanische Eigenschaften	Mechanical properties								
G	Si-Element glaspassiviert, gelötet	Si-pellet glass-passivated, soldered					12...20	g	
M	Gewicht, Bauform C/R/U	weight, case design C/R/U					2	Nm	
	Anzugsdrehmoment	tightening torque							
	Maßbilder	outlines					Seite/page 232		
	Kriechstrecke	creepage distance						2	mm
	Feuchteklassse	humidity classification							C
	Schüttelfestigkeit	vibration resistance						5x9,81	m/s^2



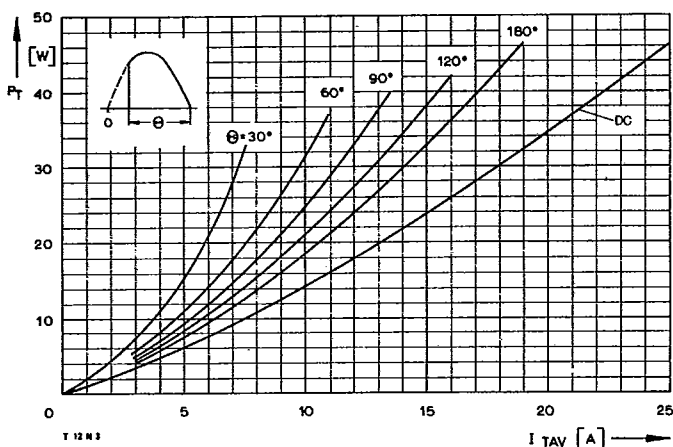
Bild/Fig. 1

Durchlaßkennlinien/On-state characteristics
 a – Typische Kennlinien/typical characteristics
 b – Grenzkennlinien/limiting characteristics



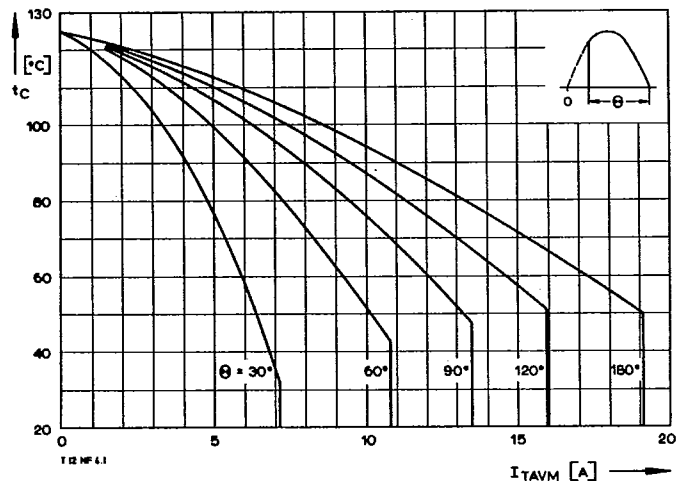
Bild/Fig. 2

Dauergrenzstrom I_{TAVM} in Abhängigkeit von der Kantenlänge L eines quadratischen Kühlbleches bei Luftselbstkühlung, $t_A = 45^\circ\text{C}$.
 Limiting mean on-state current I_{TAVM} versus edge length L of a square cooling fin at natural cooling, $t_A = 45^\circ\text{C}$.



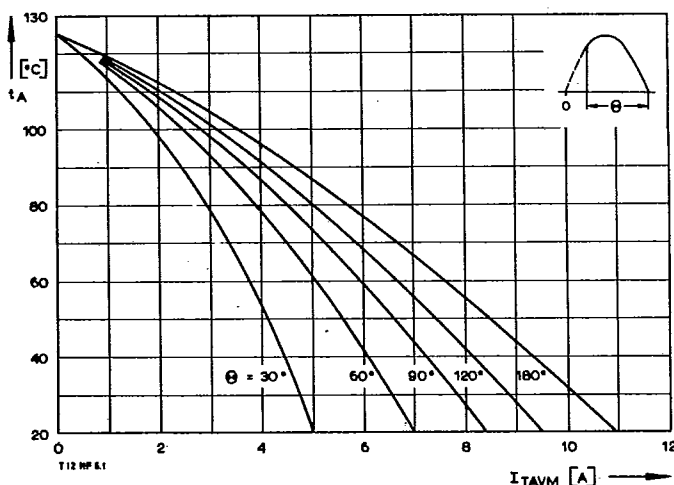
Bild/Fig. 3

Durchlaßverlustleistung P_T /On-state power loss P_T
 Parameter: Stromflußwinkel Θ /current conduction angle Θ



Bild/Fig. 4

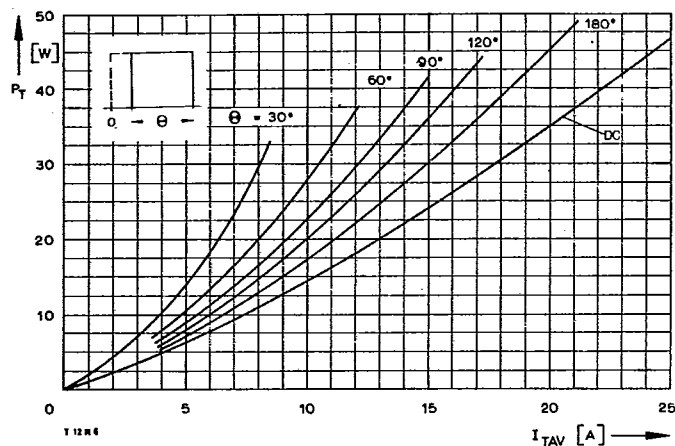
Höchstzulässige Gehäusetemperatur t_C
 Maximum allowable case temperature t_C



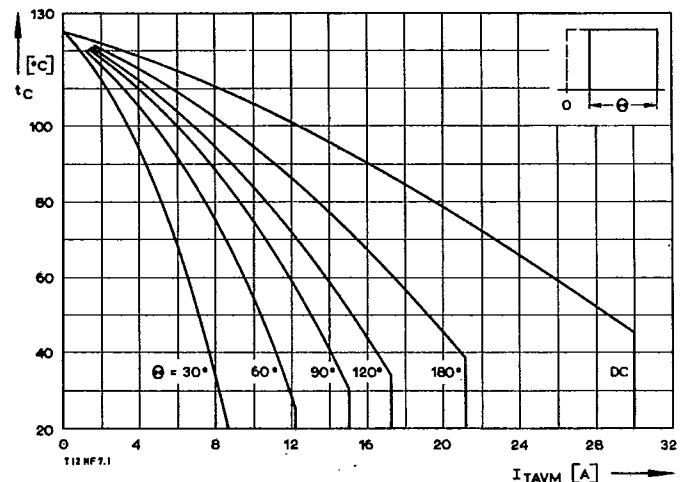
Bild/Fig. 5

Höchstzulässige Kühlmitteltemperatur t_A bei Luftselbstkühlung,
 Kühlkörper KL 21...
 Maximum allowable cooling medium temperature t_A at natural cooling,
 heatsink type KL 21...

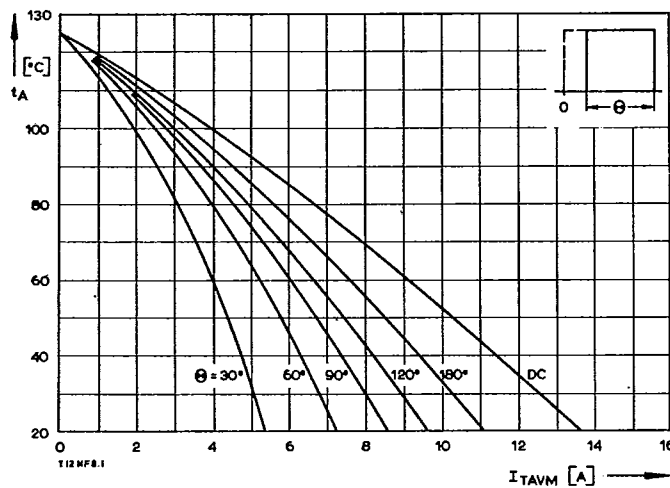
T12 N



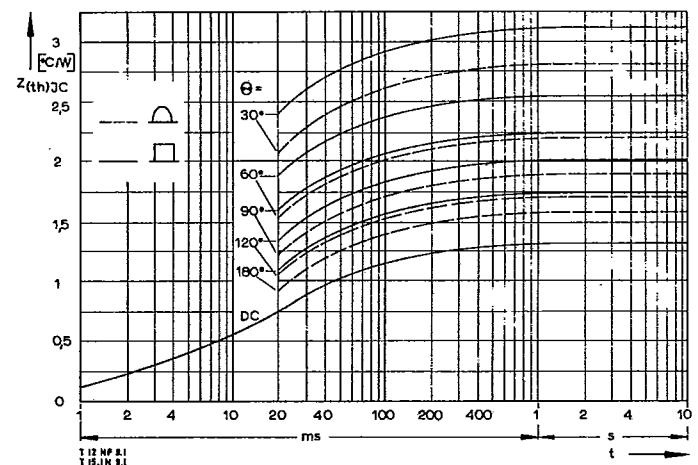
Bild/Fig. 6
Durchlaßverlustleistung P_T /On-state power loss P_T
Parameter: Stromflußwinkel Θ /current conduction angle Θ



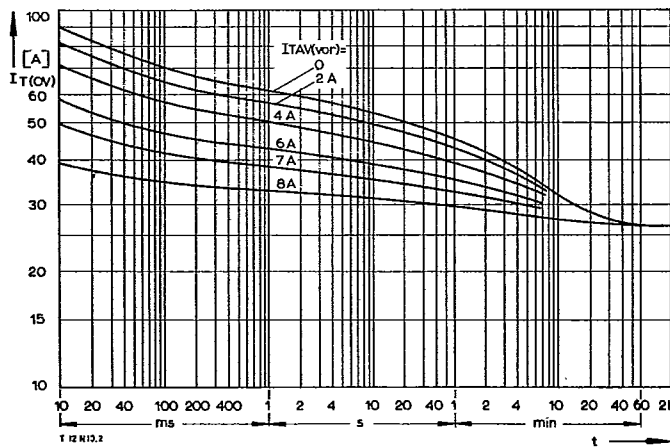
Bild/Fig. 7
Höchstzulässige Gehäusetemperatur t_c
Maximum allowable case temperature t_c



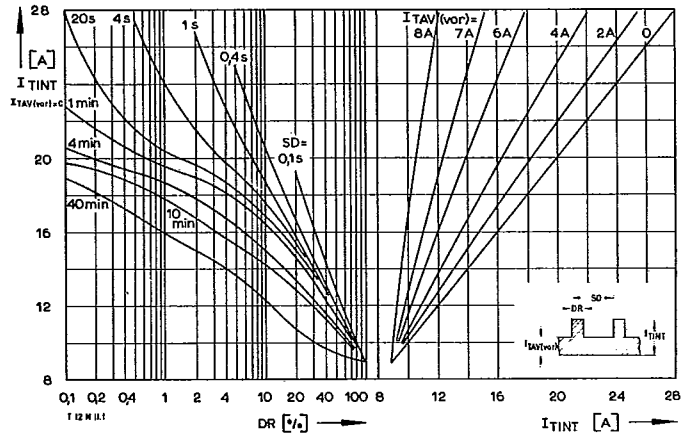
Bild/Fig. 8
Höchstzulässige Kühlmitteltemperatur t_A bei Luftselbstkühlung,
Kühlkörper KL 21...
Maximum allowable cooling medium temperature t_A at natural cooling,
heatsink type KL 21...



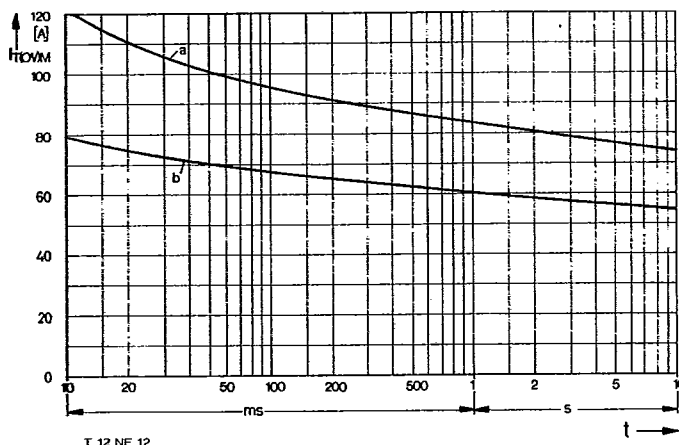
Bild/Fig. 9
Transienter innerer Wärmewiderstand $Z_{(th)JC}$ bei sinus- und rechteckförmigem
Stromverlauf.
Transient thermal impedance $Z_{(th)JC}$, junction to case at sinusoidal and
square wave current.



Bild/Fig. 10
Überstrom $I_{T(av)}$ bei Luftselbstkühlung, $t_A = 45^\circ\text{C}$, Kühlkörper KL 21...
Overload on-state current $I_{T(av)}$ at natural cooling, $t_A = 45^\circ\text{C}$,
heatsink type KL 21...
Parameter: Vorlaststrom/pre-load current $I_{T(av(vor))}$



Bild/Fig. 11
Höchstzulässiger Durchlaßstrom $I_{T(av)}$ bei Aussetzbetrieb und Luftselbstkühlung,
 $t_A = 45^\circ\text{C}$, Kühlkörper KL 21...
Limiting on-state current $I_{T(av)}$ during intermittent operation at natural cooling,
 $t_A = 45^\circ\text{C}$, heatsink type KL 21...
Parameter: Spieldauer/cycle duration SD
Vorlaststrom/pre-load current $I_{T(av(vor))}$



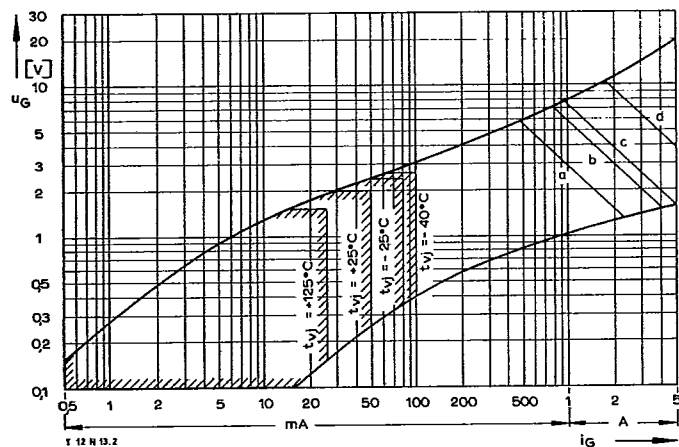
Bild/Fig. 12

Grenzstrom I_{TOVM} bei Luftselbstkühlung, Kühlkörper KL 21..., $U_{RM} = 0,8 U_{RRM}$.
Limiting overload on-state current I_{TOVM} at natural cooling, heatsink type KL 21...,
 $U_{RM} = 0,8 U_{RRM}$.

a — Belastung aus Leerlauf/current surge under no-load conditions

b — Belastung nach Betrieb mit Dauergrenzstrom I_{TAVM} /

Current surge occurs during operation at limiting mean on-state current I_{TAVM}

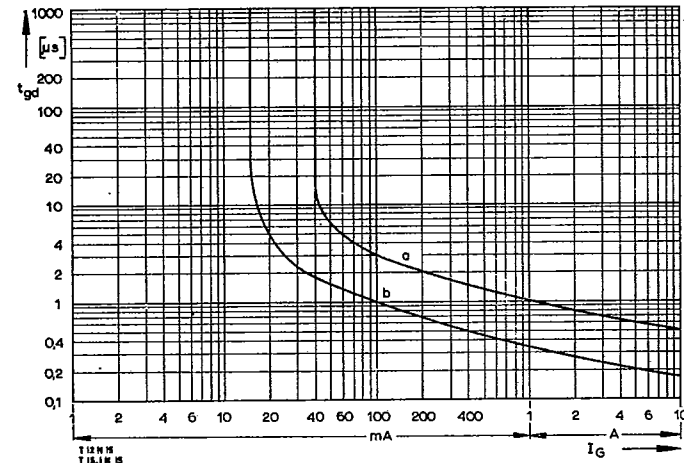


Bild/Fig. 13

Zündbereich und Spitzensteuerleistung bei $U_D \geq 6$ V.

Gate characteristic and peak gate power dissipation at $U_D \geq 6$ V.

Parameter:	a	b	c	d	
Steuerimpulsdauer/Pulse duration t_g	[ms]	10	1	0,5	0,1
Höchstzulässige Spitzensteuerleistung/ Maximum allowable peak gate power	[W]	3	6	8	20



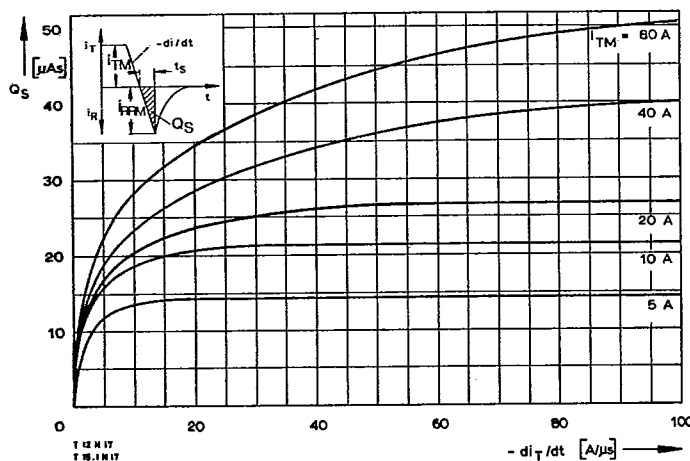
Bild/Fig. 14

Zündverzug t_{gd} bei $i_M = 4$ A, $t_{vj} = 25^\circ\text{C}$.

Gate controlled delay time t_{gd} at $i_M = 4$ A, $t_{vj} = 25^\circ\text{C}$.

a — äußerster Verlauf/limiting characteristic

b — typischer Verlauf/typical characteristic



Bild/Fig. 15

Nachlauffladung Q_S in Abhängigkeit von der abkommunizierenden Stromsteilheit

$-di/dt$ bei $t_{vj} = 125^\circ\text{C}$.

Der angegebene Verlauf wird von 90% aller Thyristoren nicht überschritten.

Lag charge Q_S versus the rate of decay of the forward on-state current

$-di/dt$ at $t_{vj} = 125^\circ\text{C}$.

These curves are valid for 90% of all thyristors.